



多任务学习及其在图像分类中的应用



报告的主要内容

2

- 几个常见的多任务学习模型
- 基于多任务学习的自回归分类模型
- 未来可以挖掘的潜力



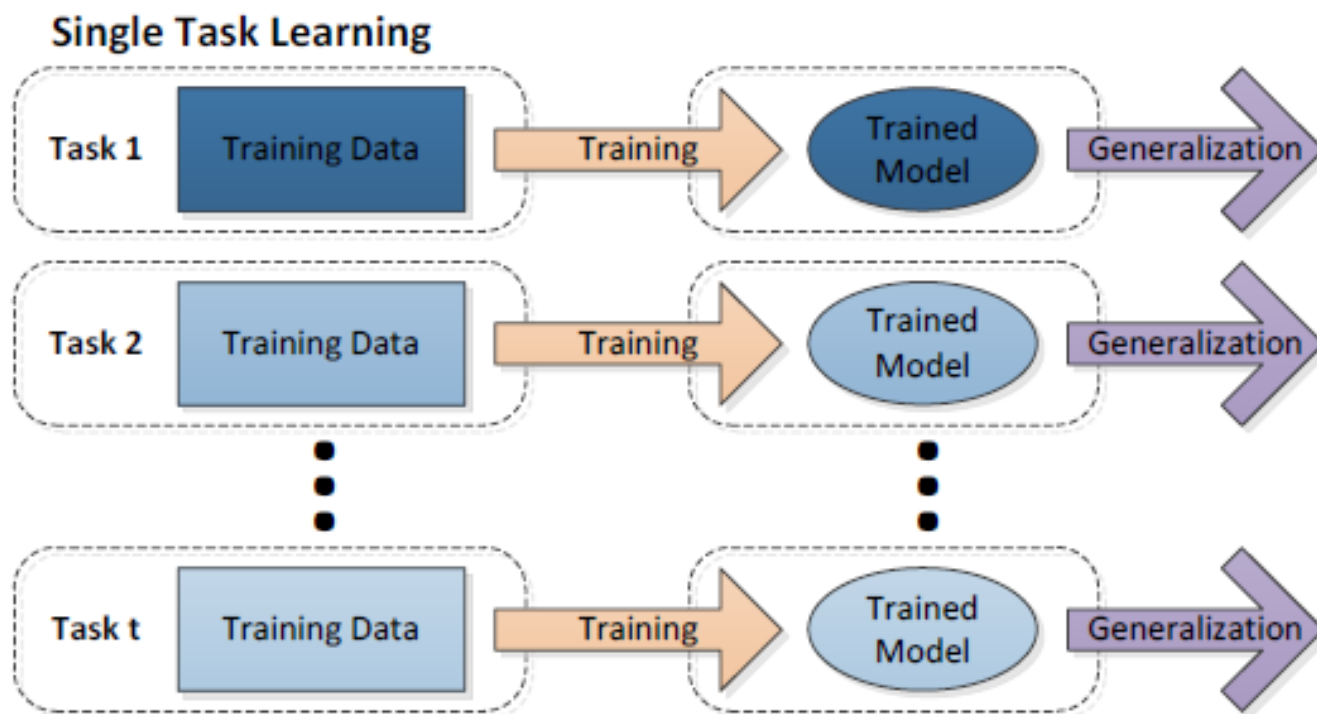
- 几个常见的多任务学习模型
- 基于多任务学习的自回归分类模型
- 未来可以挖掘的潜力



Brief Introduction to Multi-task Learning

4

□ 单任务学习



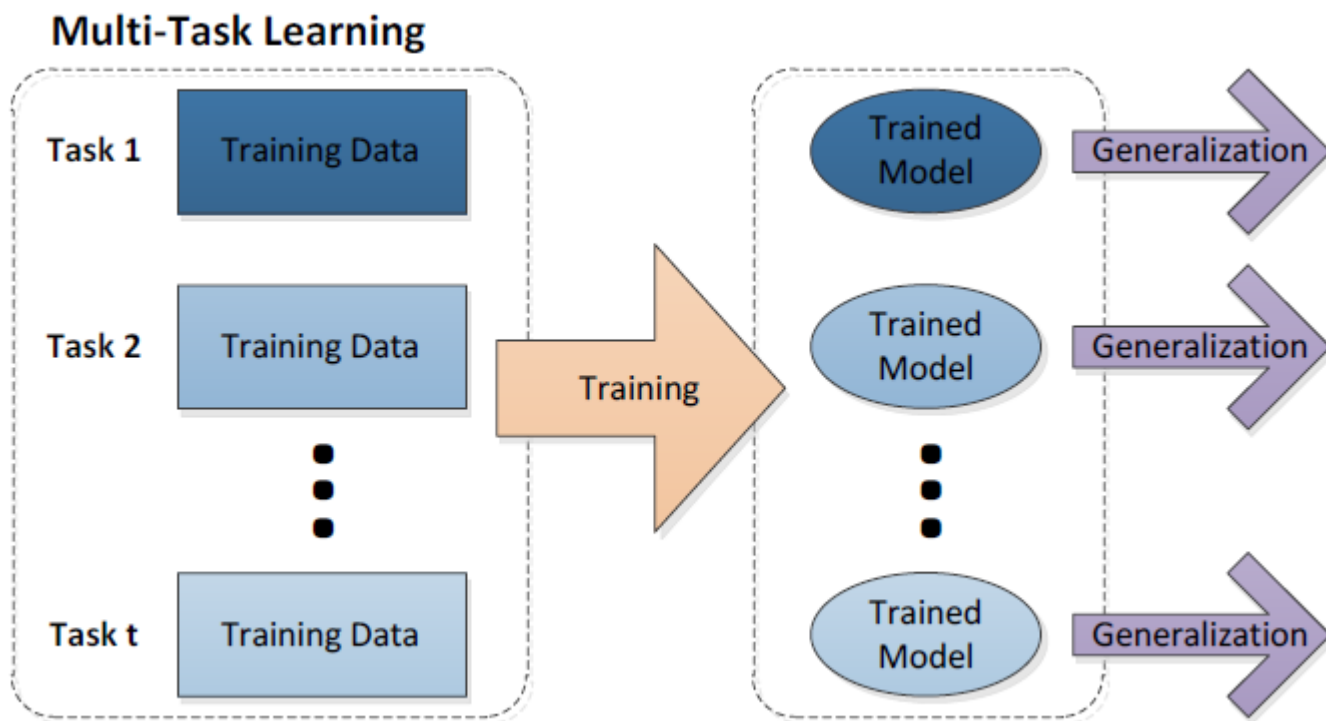
基于多任务学习的图像分类



Brief Introduction to Multi-task Learning

5

□ 多任务学习



多任务学习及其在图像分类中的应用



- 多任务学习的构建原则
 - ▣ 建模任务之间的相关性；
 - ▣ 同时对多个任务的模型参数进行联合学习，挖掘其中的共享信息；
 - ▣ 考虑任务之间的差异性，增强模型的适应能力；



Brief Introduction to Multi-task Learning

7

□ 多任务学习的两种主要方式

▣ 基于参数的共享

例如：神经网络隐层节点的共享

▣ 基于正则化约束的共享

例如：均值约束、联合特征学习等

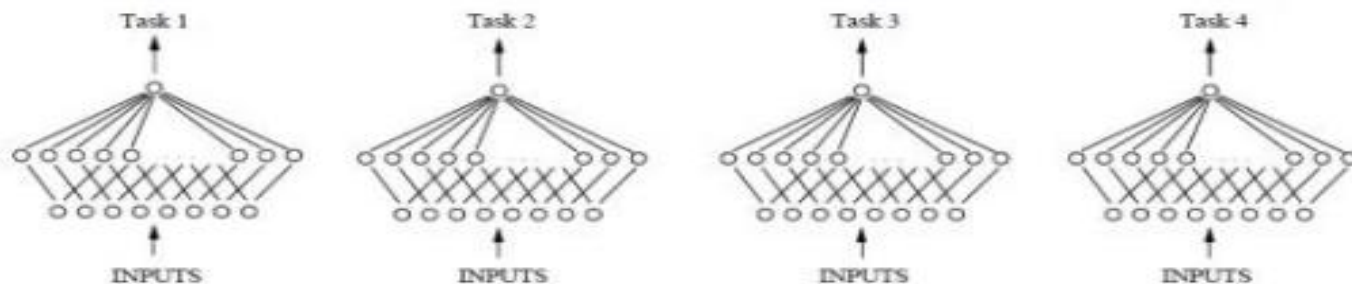


Brief Introduction to Multi-task Learning

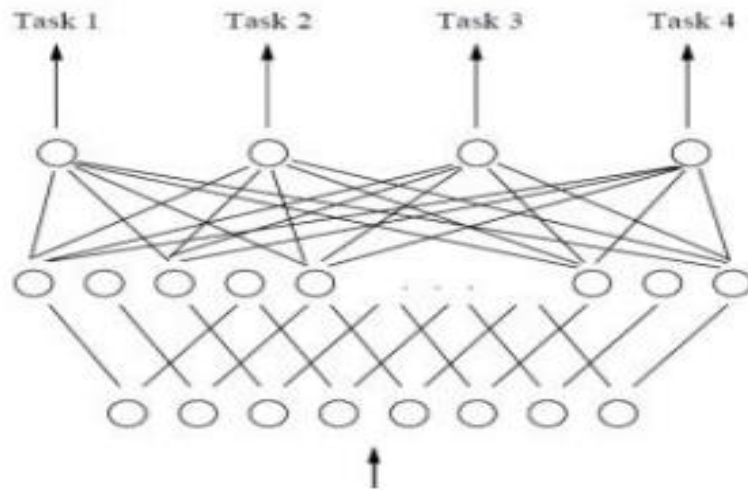
8

□ 参数共享-神经网络节点共享

单任务学习

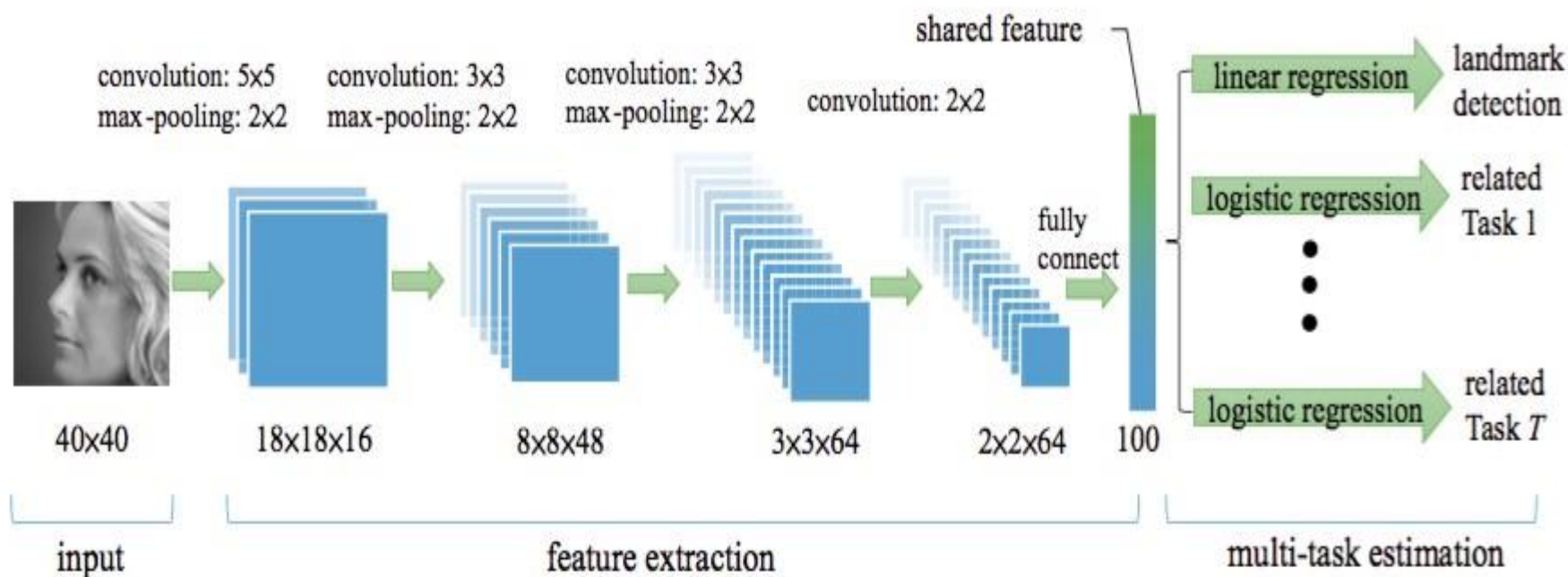


多任务学习





□ 基于CNN的实例



[Z Zhang](#), [P Luo](#), [CL Chen](#), [X Tang](#). [Facial Landmark Detection by Deep Multi-task Learning](#), **ECCV**, 2014

多任务学习及其在图像分类中的应用



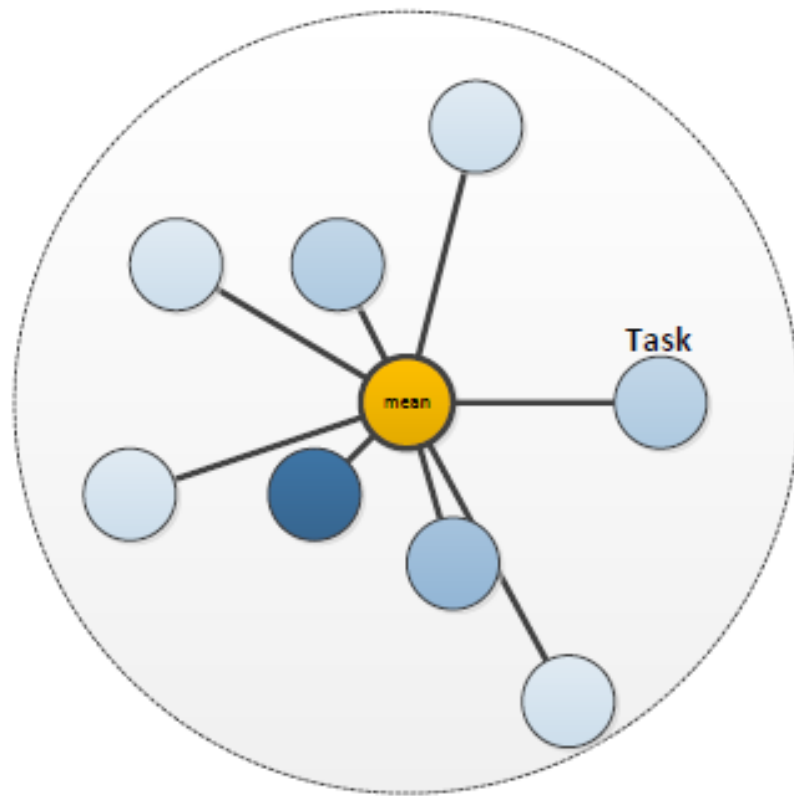
Brief Introduction to Multi-task Learning

10

□ 基于正则化约束的共享

▣ 均值约束共享

$$\min_W \frac{1}{2} \|XW - Y\|_F^2 + \lambda \sum_{i=1}^m \left\| W_i - \frac{1}{m} \sum_{s=1}^m W_s \right\|_2^2$$



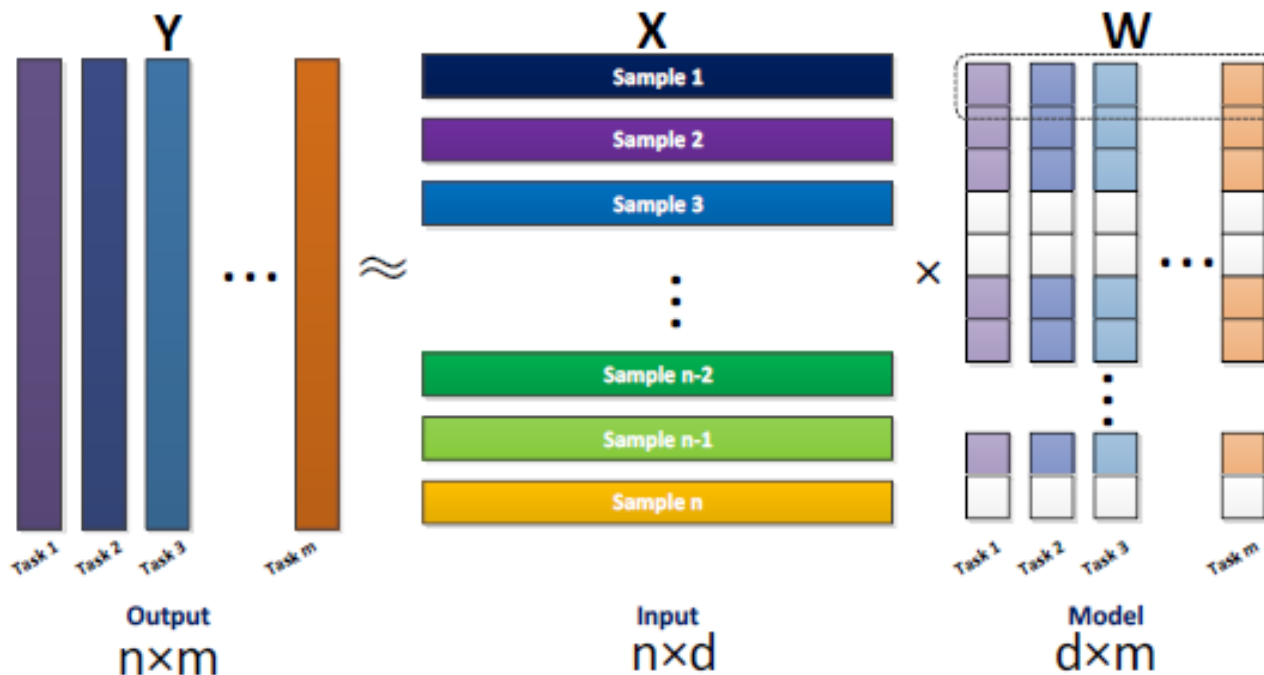


Brief Introduction to Multi-task Learning

11

联合特征约束多任务学习

$$\min_W \frac{1}{2} \|XW - Y\|_F^2 + \lambda \|W\|_{1,q}$$



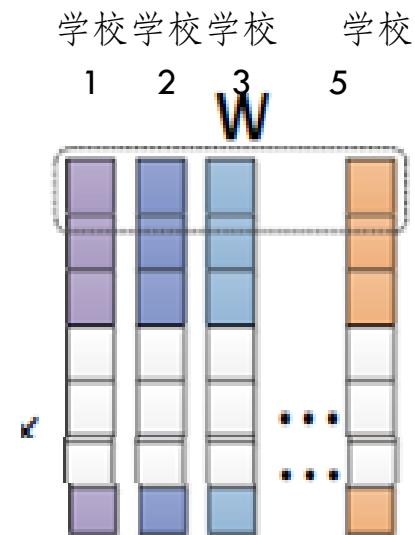
多任务学习及其在图像分类中的应用



Brief Introduction to Multi-task Learning

12

$$Y = \begin{matrix} \begin{matrix} \text{上次} & \text{上次} & \text{睡觉} & & & & \\ \text{成绩} & \text{排名} & \text{时间} & \text{学号} & \text{姓名} & \text{身高} & \text{父母教育} \\ & & & & & & \text{背景} \end{matrix} \\ \begin{bmatrix} 87 & 12 & 22.8 & 76 & \text{张三} & 1.72 & \text{博士} \\ 93 & 5 & 20.5 & 105 & \text{李四} & 1.65 & \text{本科} \\ 80 & 35 & 21.2 & 35 & \text{王五} & 1.60 & \text{硕士} \\ 52 & 102 & 19 & 57 & \text{赵六} & 1.83 & \text{初中} \\ 65 & 78 & 20 & 82 & \text{宋七} & 1.78 & \text{高中} \end{bmatrix} \end{matrix}$$



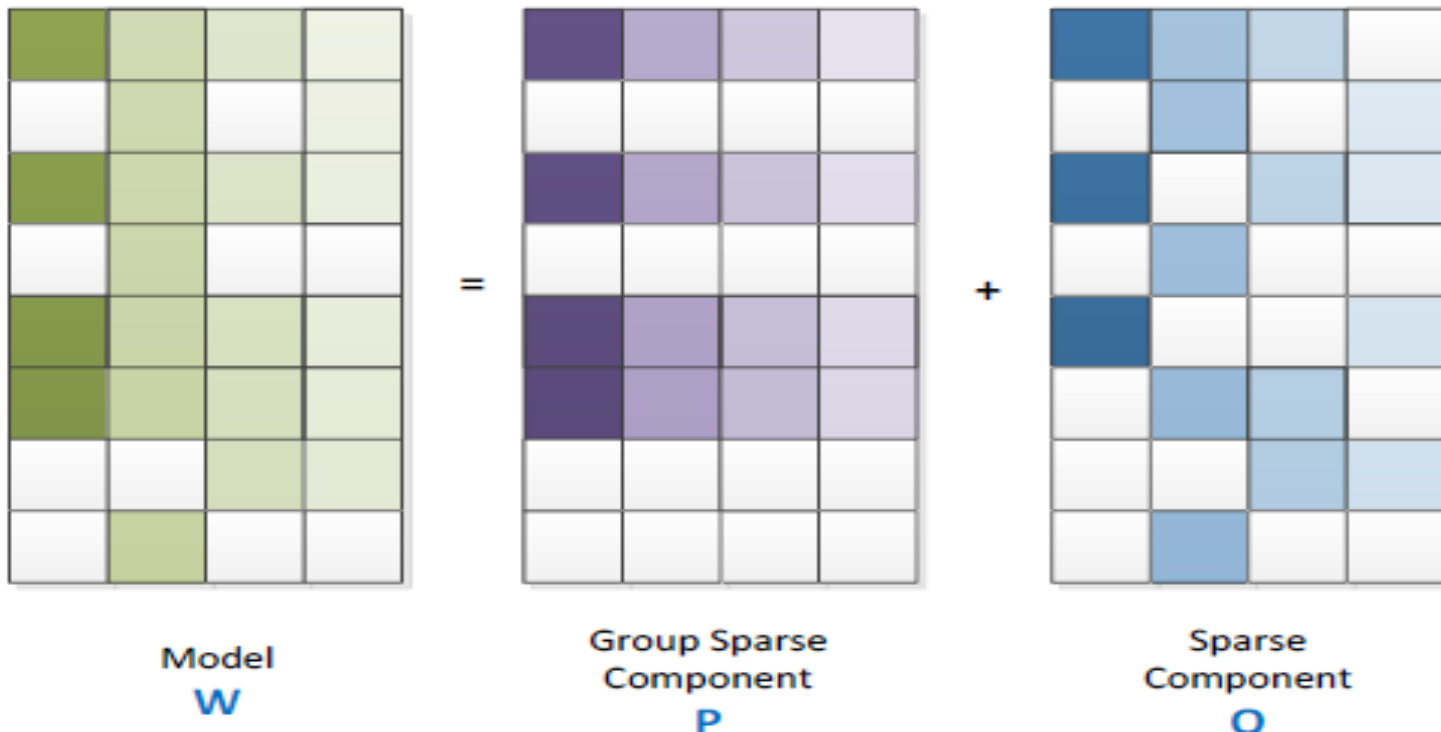
基于多任务学习的图像分类



Brief Introduction to Multi-task Learning

13

□ Dirty Model 多任务学习



$$\min_{P, Q} \|Y - X(P + Q)\|_F^2 + \lambda_1 \|P\|_{1, q} + \lambda_2 \|Q\|_1$$

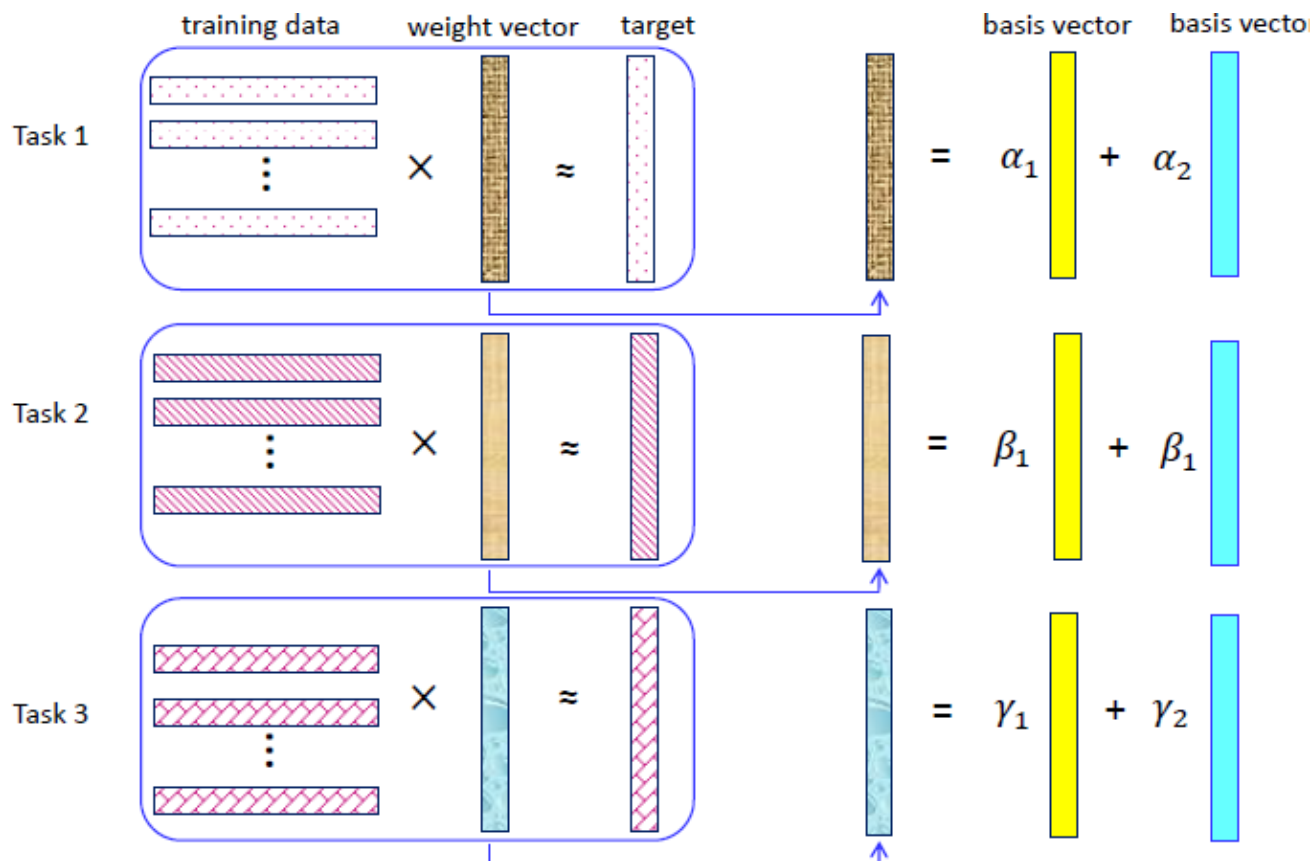
多任务学习及其在图像分类中的应用



Brief Introduction to Multi-task Learning

14

低秩约束的多任务学习

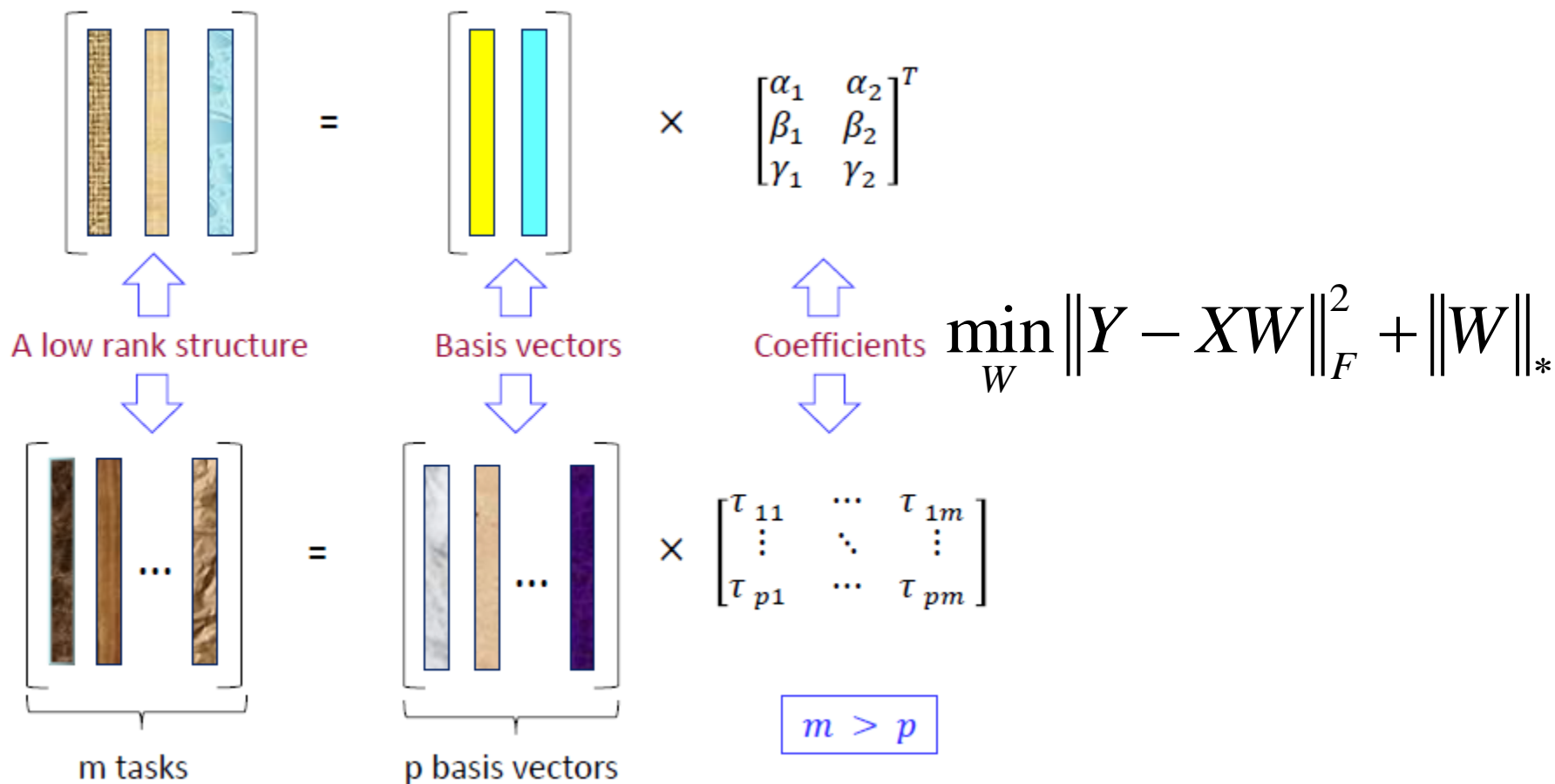


多任务学习及其在图像分类中的应用



Brief Introduction to Multi-task Learning

15





□ 存在的问题

- ▣ 认为任务之间的相关性仅与模型参数有关；
- ▣ 忽略了样本原始特征的差异性；



- 交替结构优化(Alternating Structure Optimization, ASO)的多任务学习

$$\mathbf{u}_i = \mathbf{w}_i + \theta \mathbf{v}_i$$

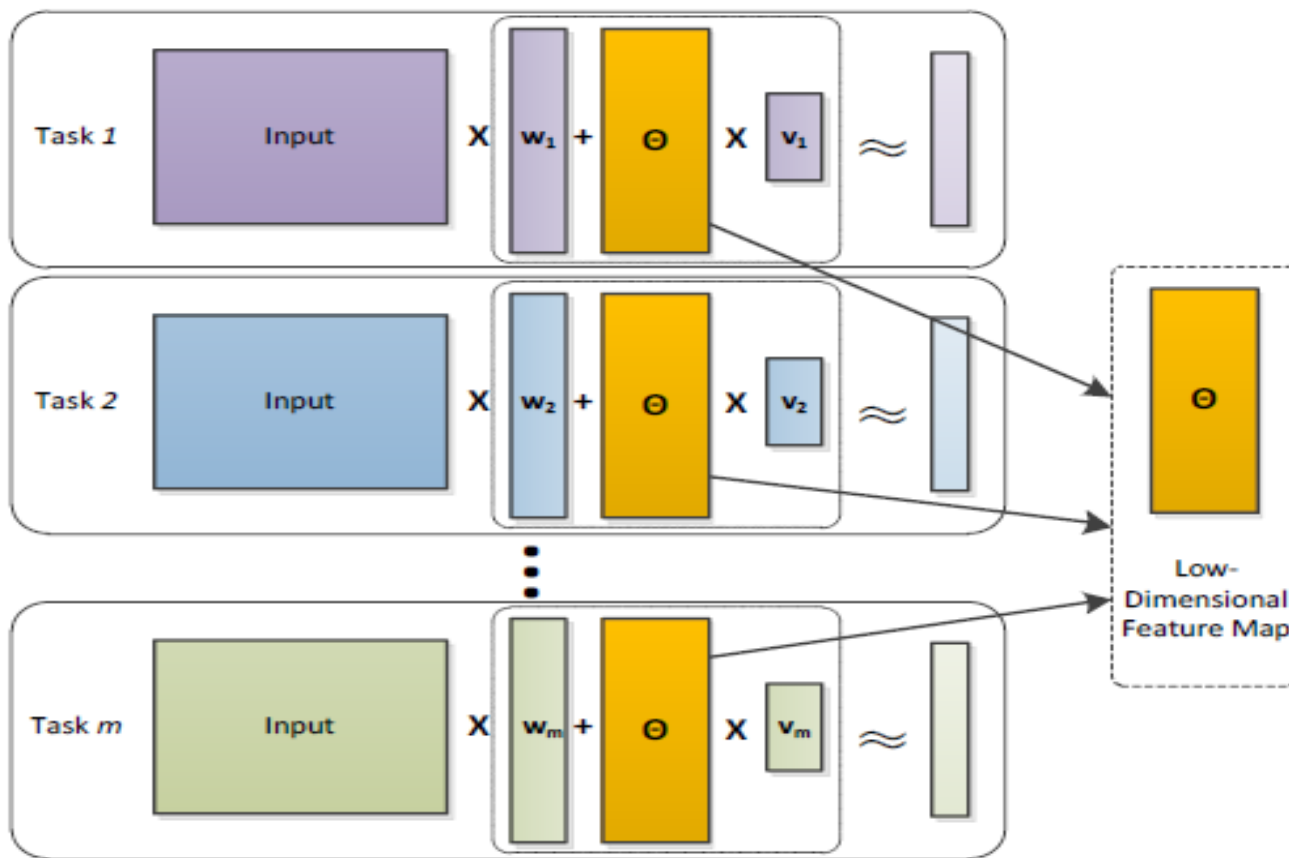
$$\mathbf{u}_i^T x = (\mathbf{w}_i^T + \mathbf{v}_i^T \theta^T) x$$

$$\mathbf{U} = \mathbf{W} + \theta \mathbf{V}$$



Brief Introduction to Multi-task Learning

18



基于多任务学习的图像分类



Brief Introduction to Multi-task Learning

19

□ Loss function:

$$\mathcal{L}_i(X_i(\Theta v_i + w_i), y_i) = \|X_i(\Theta v_i + w_i) - y_i\|^2$$

□ ASO:

$$\begin{aligned} & \min_{\Theta, \{v_i, w_i\}} \sum_{i=1}^m \{\mathcal{L}_i(X_i(\Theta v_i + w_i), y_i) + \alpha \|w_i\|^2\} \\ & \text{subject to} \quad \Theta^T \Theta = I \end{aligned}$$

□ iASO

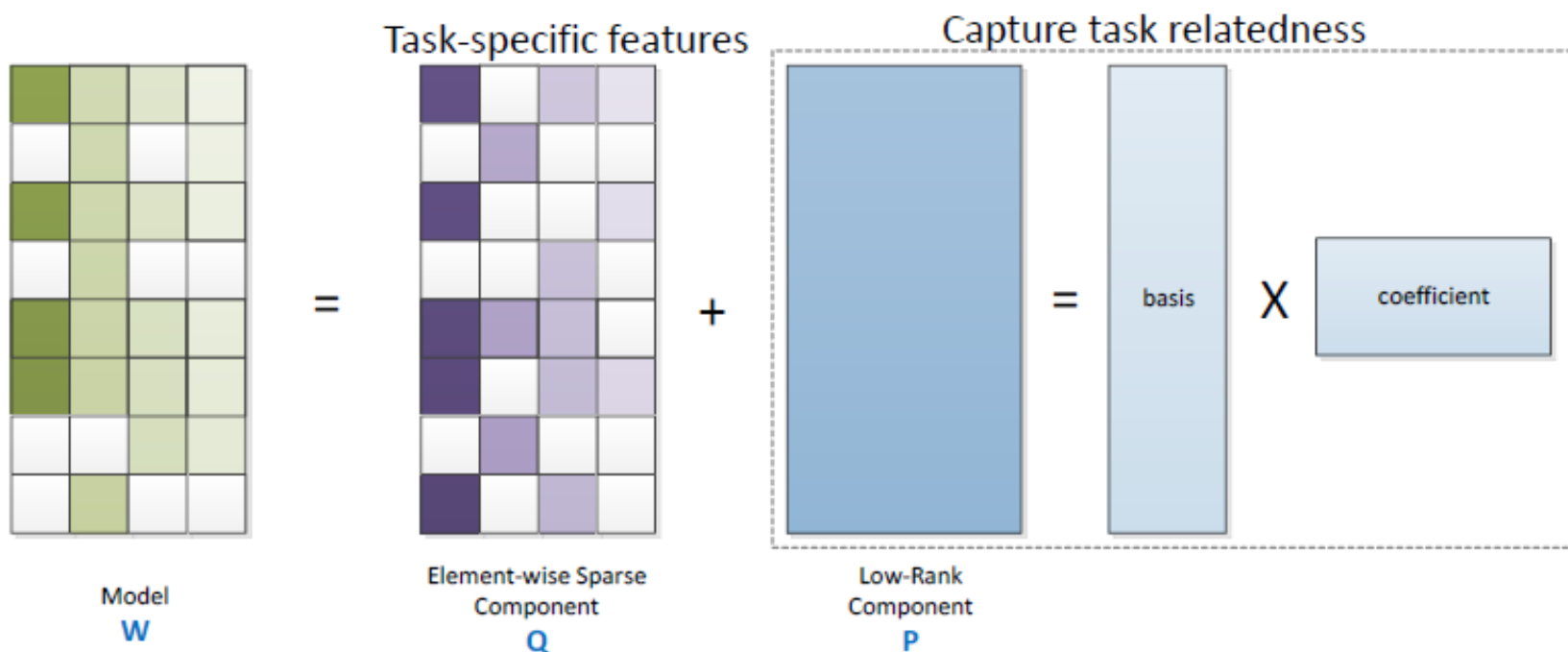
$$\begin{aligned} & \min_{\Theta, \{v_i, w_i\}} \sum_{i=1}^m \{\mathcal{L}_i(X_i(\Theta v_i + w_i), y_i) + \alpha \|\Theta v_i + w_i\|^2 + \beta \|w_i\|^2\} \\ & \text{subject to} \quad \Theta^T \Theta = I \end{aligned}$$



Brief Introduction to Multi-task Learning

20

□ Incoherent Low Rank and Sparse Structure



$$\min_{P, Q} \sum_{i=1}^m \mathcal{L}_i(X_i(P_i + Q_i), y_i) + \lambda \|Q\|_1$$

subject to $\|P\|_* \leq \eta$

多任务学习及其在图像分类中的应用



□ 多任务学习的构建原则

- ▣ 如何建模任务之间的相关性；
- ▣ 如何提取任务间的共享信息进行联合学习；
- ▣ 如何体现任务之间的差异性；



- 几个常见的多任务学习模型
- 基于多任务学习的自回归分类模型
- 未来可以挖掘的潜力



传统多任务学习框架特点：

$$\min_{P, Q} \sum_{i=1}^m \mathcal{L}_i(X_i(P_i + Q_i), y_i) + \lambda \|Q\|_1$$

subject to $\|P\|_* \leq \eta$

1. 能够用于解决多种机器学习问题：
(1) 股票价格预测 (2) 学生成绩预测 ...
2. 实际上是一个特征提取的过程，还需训练额外的分类器；



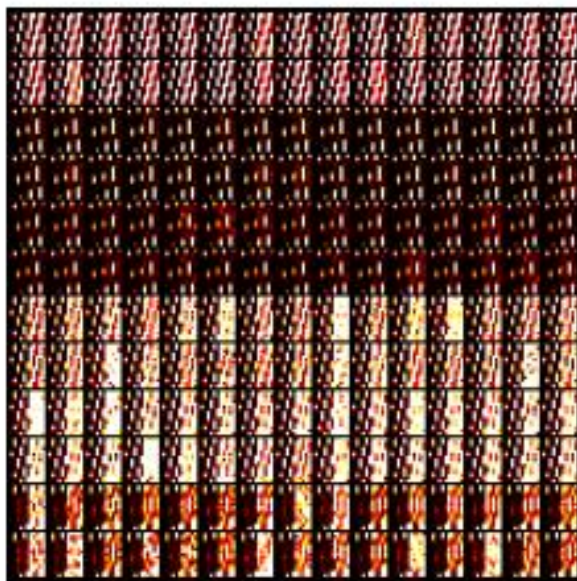
□ 我们的工作思路：

- ▣ 针对图像的结构，寻找任务之间的相关性来设计一种有效的多任务学习框架
- ▣ 一次性的进行特征提取和分类器训练，将两个独立的过程统一到一个框架中；
- ▣ 如兼顾的考虑共享特征与差异性，并给出适当的数值求解算法

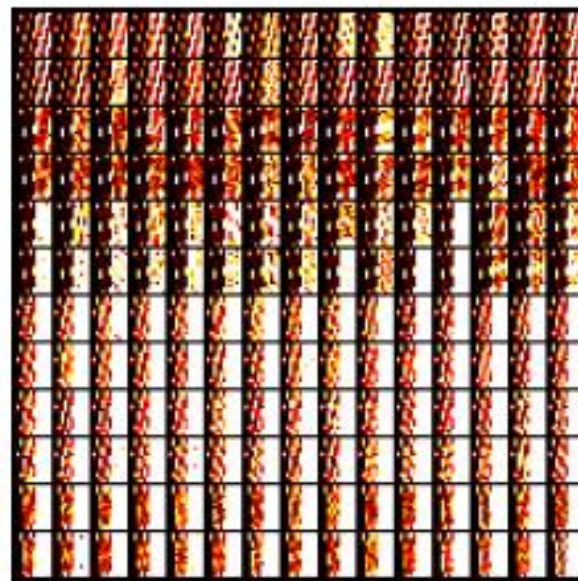


Our work

25



(a) Gaussian Channel



(b) Rayleigh Channel

<https://cyclostationary.blog>



□ 提出的损失函数:

$$L(x_n^i, W_S, W_i) = \|A(x_n) - (W_S + W_i) \Theta(P_i x_n)\|_2^2$$

$$\text{令: } X = [X_1 \quad X_2 \quad \dots \quad X_C], \quad X_i \in R^{d \times n_i}$$

$$L(X, W_S, W_i) = \sum_i \sum_{n=1}^{n_i} L(x_n^i, W_S, W_i) = \sum_{i=1,2,\dots,C} \|A(X_i) - (W_S + W_i) \Theta(P_i X_i)\|_F^2$$



□ The proposed objective function

$$\min_{\{W_i, P_i\}_{i=1}^C, W_S} \sum_{i=1}^C \left(\| \mathcal{A}(X_i) - (W_S + W_i) \Theta(P_i X_i) \|_F^2 \right. \\ \left. + \varphi(P_i) + \lambda \|W_i\|_1 \right) + \lambda_S \|W_S\|_F^2$$

$$\varphi(P_i) = \gamma \|P_i\|_F^2 + \theta \|P_i \bar{X}_i\|_F^2, \quad \Theta_1(t) = \frac{t}{1 + e^{-t}};$$

$$\Theta_2(t) = \text{sign}(t) \text{Shrink}_\tau(t)$$



□ Numerical Solution

$$\begin{aligned} \min_{\{W_i, P_i, \Phi_i\}, W_S} & \sum_{i=1}^C \left(\|\mathcal{A}(X_i) - (W_S + W_i) \Phi_i\|_F^2 \right. \\ & \left. + \varphi(P_i) + \lambda \|W_i\|_1 \right) + \lambda_S \|W_S\|_F^2 \\ \text{s.t.} \quad & \Phi_i = \Theta(P_i X_i), i = 1, 2, \dots, C \end{aligned}$$



Our work

29

□ Solve the following minimization problems iteratively:

$$\textcircled{1} \quad \min_{W_S} \sum_{i=1}^C \|\mathcal{A}(X_i) - (W_S + W_i) \Phi_i\|_F^2 + \lambda_S \|W_S\|_F^2$$

$$\textcircled{2} \quad \min_{W_i} \|\mathcal{A}(X_i) - (W_S + W_i) \Phi_i\|_F^2 + \lambda_i \|W_i\|_1$$

$$\textcircled{3} \quad \min_{P_i, \Phi_i} \|\mathcal{A}(X_i) - (W_S + W_i) \Phi_i\|_F^2 + \varphi(P_i) \\ s.t. \quad \Phi_i = \Theta(P_i X_i)$$



□ Minimization - 1

$$\min_{W_S} \sum_{i=1}^C \|\mathcal{A}(X_i) - (W_S + W_i) \Phi_i\|_F^2 + \lambda_S \|W_S\|_F^2$$

$$\frac{\partial J_{WS}}{\partial W_S} = 0 \quad \Rightarrow$$

$$W_S^* = \left(\sum_{i=1}^C (\mathcal{A}(X_i) - W_i \Phi_i) \Phi_i^T \right) \left(\sum_{i=1}^C \Phi_i \Phi_i^T + \lambda_S I \right)^{-1}$$



□ Minimization - 2

$$\min_{W_i} \|\mathcal{A}(X_i) - (W_S + W_i) \Phi_i\|_F^2 + \lambda_i \|W_i\|_1$$

Suppose :

$$f(W_i) = \|A(X_i) - (W_s + W_i) \Phi_i\|_F^2$$

$$\hat{W}_i^{(k+1)} = \arg \min \left\| W_i - \left(W_i^{(k)} - \nabla f(W_i^{(k)}) \delta_i \right) \right\|_F^2 + \lambda \|W_i\|_1$$



□ Minimization - 3

$$\begin{aligned} \min_{P_i, \Phi_i} & \|\mathcal{A}(X_i) - (W_S + W_i) \Phi_i\|_F^2 + \varphi(P_i) \\ \text{s.t.} & \quad \Phi_i = \Theta(P_i X_i) \end{aligned}$$

$$\begin{aligned} \min_{P_i, \Phi_i} & \|\mathcal{A}(X_i) - (W_S + W_i) \Phi_i\|_F^2 + \varphi(P_i) \\ \text{s.t.} & \quad \Phi_i = \Theta(Q_i), Q_i = P_i X_i \end{aligned}$$



- The augmented Lagrangian function:

$$\begin{aligned} \min_{P_i, \Phi_i, Q_i, U_1, U_2} & \|\mathcal{A}(X_i) - (W_S + W_i) \Phi_i\|_F^2 + \varphi(P_i) \\ & + \frac{\rho}{2} \|\Phi_i - \Theta(Q_i)\|_F^2 + \frac{\rho}{2} \|Q_i - P_i X_i\|_F^2 \\ & + \langle U_1, \Phi_i - \Theta(Q_i) \rangle + \langle U_2, Q_i - P_i X_i \rangle \end{aligned}$$



Our work

34

- With the ADMM, the minimization can be solved by the following three subproblems:

$$\begin{aligned}\Phi_i^{(t+1)} = \arg \min_{\Phi_i} & \|\mathcal{A}(X_i) - (W_S + W_i) \Phi_i\|_F^2 \\ & + \frac{\rho}{2} \|\Phi_i - \Theta(Q_i^{(t)}) + \frac{1}{\rho} U_1^{(t)}\|_F^2\end{aligned}$$

$$\begin{aligned}P_i^{(t+1)} = \arg \min_{P_i} & \frac{\rho}{2} \|Q_i^{(t)} - P_i X_i + \frac{1}{\rho} U_2^{(t)}\|_F^2 \\ & + \gamma \|P_i\|_F^2 + \theta \|P_i \bar{X}_i\|_F^2\end{aligned}$$

$$\begin{aligned}Q_i^{(t+1)} = \arg \min_{Q_i} & \frac{\rho}{2} \|\Phi_i - \Theta(Q_i) + \frac{1}{\rho} U_1^{(t)}\|_F^2 \\ & + \frac{\rho}{2} \|Q_i - P_i X_i + \frac{1}{\rho} U_2^{(t)}\|_F^2\end{aligned}$$



□ Overall Algorithm

Input: Training data set $\{X_i\}_{i=1}^C$, self-projected operator \mathcal{A} regularization parameters $\gamma, \theta, \lambda, \lambda_S, \rho$ initial random $W_S^{(0)}, \{W_i^{(0)}, P_i^{(0)}, \Phi_i^{(0)}\}_{i=1}^C, U_1^{(0)} = U_2^{(0)} = \mathbf{0}$, iteration number T , initial $k = 0$.

Repeat

1. Calculate matrix $W_S^{(k+1)}$ with Eq.(10);
2. Calculate matrix $W_i^{(k+1)}$ for each task with Eq.(12);
3. **for** $t = 0$ to $T - 1$ **do**, ($i = 1, 2, \dots, C$)

Update $\Phi_i^{(t+1)}$ in subproblem in Eq.(16);

Update $P_i^{(t+1)}$ in subproblem in Eq.(17);

Update $Q_i^{(t+1)}$ in subproblem in Eq.(18);

Update Lagrangian multipliers:

$$U_1^{(t+1)} = U_1^{(t)} + \rho \left(\Phi_i^{(t+1)} - \Theta \left(Q_i^{(t+1)} \right) \right)$$

$$U_2^{(t+1)} = U_2^{(t)} + \rho \left(Q_i^{(t+1)} - P_i^{(t+1)} X_i \right)$$

end for

4. For each i , $\Phi_i^{(k+1)} \leftarrow \Phi_i^T, P_i^{(k+1)} \leftarrow P_i^T,$

$$Q_i^{(k+1)} \leftarrow Q_i^T$$

5. $k \leftarrow k + 1;$

Until convergence

Output: $W_S^*, \{W_i^*, P_i^*\}_{i=1}^C$



□ Classification Criterion

$$\hat{l}_t = \arg \min_i \|\mathcal{A}(x_t) - (W_S + W_i) \Theta(P_i x_t)\|_F^2$$

$$p(x_n | y_n, \{W_i\}_{i=1}^C, W_s) = \sum_i y_{ni} \exp\left\{-\|A(x_n) - (W_s + W_i)x_n\|_2^2\right\}$$

$$-\log P(X | Y, \{W_i\}_{i=1}^C, W_s) = -\log \prod_n p(x_n | y_n)$$

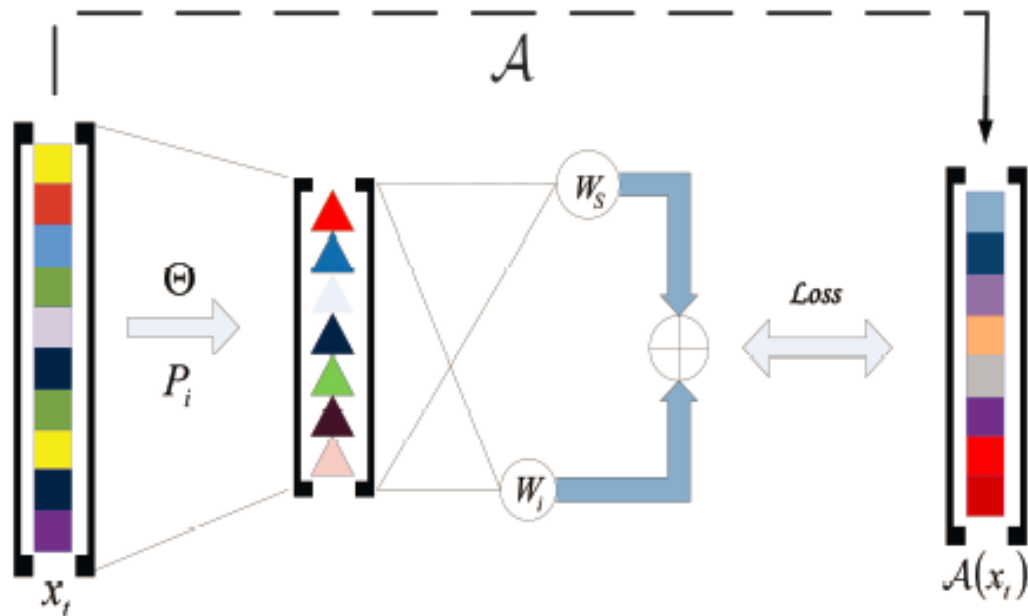
$$= \sum_i \sum_n y_{ni} \|A(x_n) - (W_s + W_i)S(P_i x_n)\|_2^2$$



Our work

37

□ Structure for each task

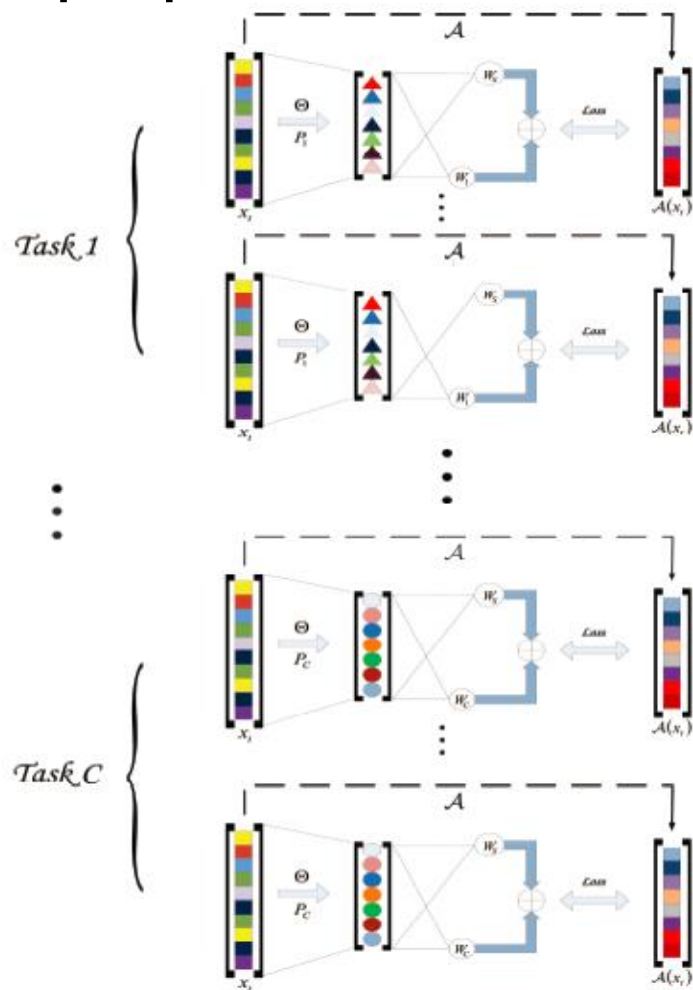




Our work

38

□ Structure of our proposed model



基于多任务学习的图像分类



Our work

39

□ Experimental results

	Extended YaleB	WSU-HOS-G	WSU-HOS-R
SRC	95.42±0.47	92.87±1.56	79.85±2.79
CRC	97.23±0.35	96.42±0.66	83.62±0.93
ProCRC	93.25±1.28	95.87±1.93	88.89±0.62
NNGR	92.32±1.43	95.47±1.40	82.86±1.33
Ours with Θ_1	96.98±0.28	98.63±1.29	90.63±1.23
Ours with Θ_2	97.08±0.48	98.79±0.23	89.80±0.88



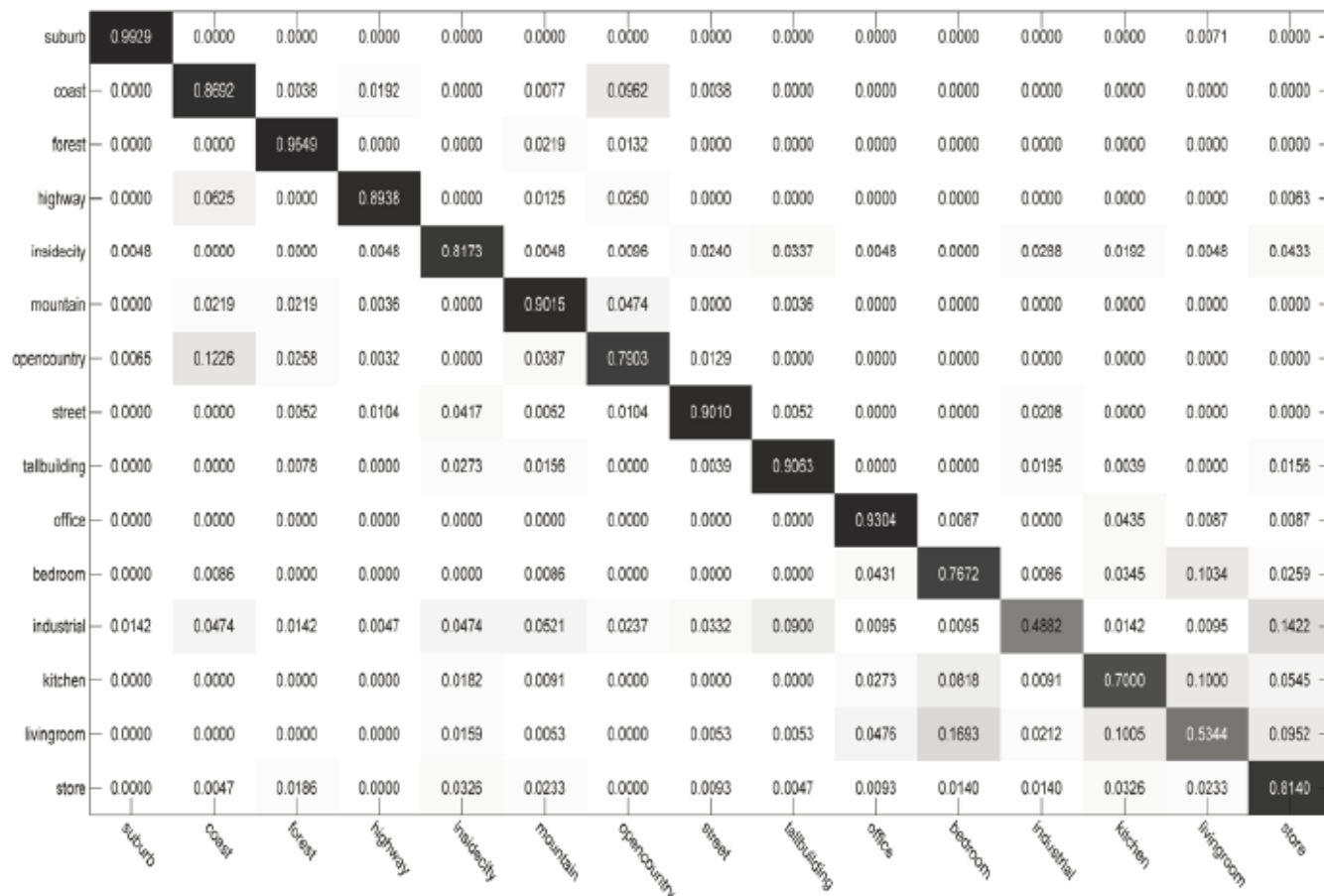
□ Scene Classification

	Scene-15
SPM	79.95 ± 0.27
LLC	79.81 ± 0.35
LLCDC	80.30 ± 0.62
LLCDCSIFT	82.40 ± 0.35
Ours with Θ_1	82.23 ± 0.49
Ours with Θ_2	81.51 ± 0.54



Our work

41



多任务学习及其在图像分类中的应用



Our work

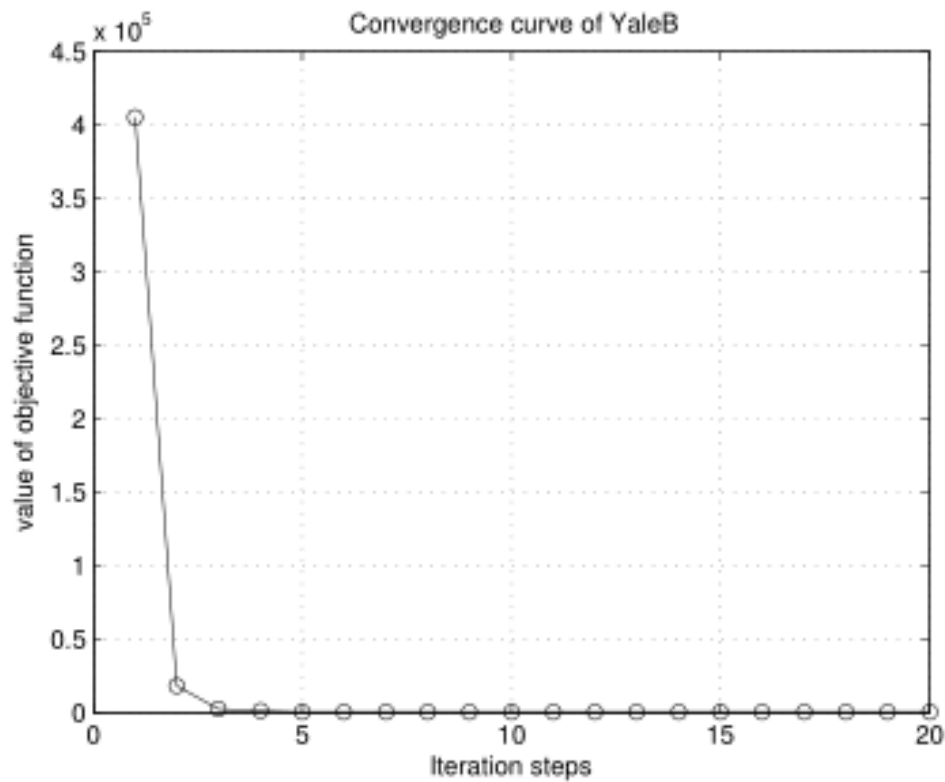
42

□ Visualization Result





□ Convergence Analysis





- 几个常见的多任务学习模型
- 基于多任务学习的自回归分类模型
- 未来可以挖掘的潜力



□ 未来可以尝试的工作：

(1) 降维算子学习；

(2) 非线性映射方式：使用核技术

(3) 考虑引入属性特征应用于其它视觉任务；



*Thank you for your
attentions!*